

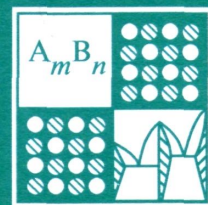
ISSN 0002-337X

Том 54, Номер 3

Март 2018



НЕОРГАНИЧЕСКИЕ МАТЕРИАЛЫ



<http://www.naukaran.com>



“НАУКА”

СОДЕРЖАНИЕ

Том 54, номер 3, 2018

Влияние добавки аскорбиновой кислоты на механизм формирования наноструктурированных пленок PbSe гидрохимическим осаждением <i>В. М. Юрк, Л. Н. Мaskaева, В. Ф. Марков, Е. В. Мараева, В. А. Мошников, Л. Б. Матюшкин</i>	231
Одноступенчатый синтез гибрида пленок графена и ленточных графеновых структур <i>В. Н. Матвеев, В. Т. Волков, В. И. Левашов, О. В. Кононенко, И. И. Ходос</i>	240
Синтез гибридных материалов на основе многостенных углеродных нанотрубок, декорированных наночастицами железа <i>К. В. Кремлев, А. М. Объедков, С. Ю. Кетков, Б. С. Каверин, Н. М. Семенов, Т. И. Лопатина, С. А. Гусев, Д. А. Татарский, П. А. Юнин</i>	244
Теплопроводность кристаллов дифосфида кадмия тетрагональной модификации <i>П. А. Попов, Е. А. Олейник, В. М. Трухан, А. Д. Изотов, С. Ф. Маренкин</i>	249
Образование соединений в системе $\text{Ag}_2\text{O}-\text{Sb}_2\text{O}_3-\text{MoO}_3$ при нагревании <i>Ю. А. Луницкая, Д. А. Калганов, М. В. Клюева</i>	252
Структурные преобразования порядок–беспорядок в нанокристаллических высокодефектных флюоритпроизводных Gd_2MO_5 ($\text{M} = \text{Zr}, \text{Hf}$) <i>Л. П. Ляшенко, Л. Г. Щербакова, И. И. Тартаковский, А. А. Максимов, Р. Д. Светогоров, Я. В. Зубович</i>	257
Взаимосвязь состава и строения ферросфер скелетного и дендритного типов, выделенных из высококальциевых энергетических зол <i>Н. Н. Аншиц, М. А. Федорчак, А. М. Жизжаев, А. Г. Аншиц</i>	265
Колебательная релаксация в твердых бинарных системах $\text{NaNO}_3-\text{NaClO}_4$, $\text{NaNO}_3-\text{NaNO}_2$, $\text{Na}_2\text{CO}_3-\text{Na}_2\text{SO}_4$ <i>А. Р. Алиев, И. Р. Ахмедов, М. Г. Какагасанов, З. А. Алиев, М. М. Гафуров, К. Ш. Рабаданов, А. М. Амиров</i>	274
Корреляция между молекулярными рефракциями кристаллов и ионными радиусами катионов в гомологическом ряду трифтторидов редкоземельных элементов <i>Н. И. Сорокин</i>	281
Особенности технологии изготовления активных фторалюмофосфатных световодов для мощных волоконных лазеров <i>А. Н. Абрамов, М. М. Бубнов, А. Н. Гурьянов, Д. С. Липатов, М. Е. Лихачев, М. А. Мелькумов, М. В. Яшков</i>	285
MCVD-метод изготовления световодов $\text{Yb}_2\text{O}_3-\text{Al}_2\text{O}_3-\text{P}_2\text{O}_5-\text{SiO}_2$ со строго ступенчатым профилем показателя преломления <i>Д. С. Липатов, А. Н. Гурьянов, М. В. Яшков, М. М. Бубнов, М. Е. Лихачев</i>	291
Локальное окружение ионов железа в матрице стекла $40\text{ZnO}\cdot60\text{B}_2\text{O}_3$ <i>А. А. Осипов, Р. Т. Зайнуллина, Л. М. Осипова, Н. К. Никандрова, А. Б. Миронов</i>	298

Синтез, рентгendifракционные, мессбауэровские и диэлектрические исследования твердых растворов системы $PbFe_{2/3}W_{1/3}O_3$ – $PbSc_{2/3}W_{1/3}O_3$

*A. Ф. Королева, А. А. Буш, К. Е. Каменцев, В. Я. Шкуратов,
С. А. Иванов, В. М. Черепанов, С. Шафей*

303

Структура и твердость керамики, синтезируемой в процессе высокотемпературной нитридизации титановой фольги

*С. В. Шевцов, И. А. Ковалев, А. И. Огарков, С. В. Канныкин,
Д. В. Просвирнин, А. С. Чернявский, К. А. Солнцев*

311

Влияние лазерного излучения на позисторные свойства полупроводниковой керамики титаната бария-стронция

А. М. Солодуха, Г. С. Григорян

317

Структурно-морфологические и резорбционные свойства карбонатгидроксиапатита, полученного в присутствии глицина

С. А. Герк, О. А. Голованова, В. Н. Одажиу

322
